

ΙΑΤΡΟΔΙΚΑΣΤΙΚΗ.—'Η έξακριβωσις τῆς ἡλικίας ἐκ τοῦ μυελικοῦ δείκτου τῶν μακρῶν ὄστῶν*, ὑπὸ Ἐμμ. Κ. Ἡλιάκη καὶ Προδρ. Ἰ. Ιορδανίδη**. Ἀνεκοινώθη ὑπὸ τοῦ Ἀκαδημαϊκοῦ κ. Κωνστ. Χωρέμη¹.

'Η παροῦσα ἐργασία δύναται νὰ θεωρηθῇ ως συνέχεια προγενεστέρας ἡμῶν μελέτης ὑπὸ τὸν τίτλον «Ἐξακριβωσις τοῦ φύλου ἐκ τοῦ μυελικοῦ δείκτου τῶν μακρῶν ὄστῶν»². 'Η ιατροδικαστικὴ ἀσχολουμένη μὲ τὴν ἐπίλυσιν πλείστων ὅσων πολυπλόκων ζητημάτων, σχέσιν ἐχόντων μὲ τὴν ἐπιστήμην τοῦ δικαίου, ἀσχολεῖται καὶ μὲ τὴν ἐπίλυσιν ζητημάτων σχέσιν ἐχόντων πρὸς τὰ ὄστα.

'Ἐν τῶν σπουδαιοτέρων ἐκ τῶν ζητημάτων τούτων ἀλλὰ καὶ τὸ πλέον δυσχερές εἰς τὴν ἐπίλυσιν ἀποτελεῖ ὁ καθορισμὸς ἐκ τοῦ σκελετοῦ τῆς ἡλικίας ἀτόμου τινός. Αἱ μέχρι τοῦδε γνωσταὶ περὶ τὸ ζήτημα τοῦτο μέθοδοι περιοριζόμεναι ἀποκλειστικῶς καὶ μόνον εἰς τὴν ἐκτίμησιν τῆς ἡλικίας ἐκ τῆς μελέτης τῆς πορείας τῆς συνοστεώσεως τῶν ραφῶν, τοῦ χρόνου ἐμφανίσεως τῶν διαφόρων πυρήνων ὄστεώσεως κ.τ.λ., δὲν δύνανται νὰ θεωρηθοῦν ἐπαρκεῖς.

'Η ἐπίλυσις τοῦ ζητήματος τούτου ἐπὶ ἀνευρέσεως κρανίου ἢ ἄλλων ὄστων, μὴ συμπληρωσάντων τὴν ὄστεωσίν των, εἶναι σχετικῶς εὐχερής, τῆς ἀκριβείας τῆς ἐκτιμήσεως ἀνερχομένης εἰς ἄλλοτε ἄλλο ποσοστόν, ἐξαρτωμένου τούτου κατὰ κύριον λόγον ἐκ τοῦ εἴδους τῶν ἀνευρεθέντων ὄστων. Τὸ πρόβλημα ὅμως καθίσταται λίγαν δυσχερές καὶ εἴς τινας περιπτώσεις ἀνεπίλυτον ἐπὶ ἀνευρέσεως μακρῶν ὄστων, συμπληρωσάντων τὴν ἀνάπτυξίν των.

'Η παροῦσα ἐργασία ἀποσκοπεῖ εἰς τὴν ἐπίλυσιν τοῦ σπουδαιοτάτου τούτου ιατροδικαστικοῦ προβλήματος, δι' ἐπινοήσεως νέας ὅλως καὶ πρωτοτύπου μεθόδου, ως ἀπεδείχθη ἐκ τῆς μελέτης τῆς προσιτῆς εἰς ἡμᾶς βιβλιογραφίας.

'Αφετηρίαν καὶ στροφὴν τῶν προσπαθειῶν ἡμῶν πρὸς τὴν κατεύθυνσιν ταύτην ἀπετέλεσαν, τοῦτο μὲν αἱ συνεχεῖς ὑποδείξεις τοῦ σεβαστοῦ ἡμῶν διδασκάλου καθηγητοῦ Κ. Ε. Ἡλιάκη, τοῦτο δὲ ἡ στατιστικὴ ἀξιολόγησις, ἐν συνδυασμῷ πρὸς τὴν γραφικὴν ἀναπαράστασιν τῶν δεδομένων τῆς ἥδη ἀναφερθείσης ἐργασίας ἡμῶν, εἰς ἣν παρετηρήσαμεν, ὅτι, προϊούσης τῆς ἡλικίας, αὐξάνεται ἡ τιμὴ τοῦ μυελικοῦ δείκτου.

* (Ἐκ τοῦ Ἐργαστηρίου τῆς Ιατροδικαστικῆς καὶ Τοξικολογίας τοῦ Πανεπιστημίου Ἀθηνῶν. Διευθυντὴς δὲ Καθηγ. Κ. Ε. Ἡλιάκης).

** EMM. K. ILIAKIS and PRODR. I. IORDANIDES, How to identify the age by the medulla index of long bones.

1. Ἀνεκοινώθη κατὰ τὴν συνεδρίαν τῆς 6ης Φεβρουαρίου 1964.

2. Βλ. Πρακτικὰ Ἀκαδημίας Ἀθηνῶν, τόμ. 38, 1963, σ. 118 - 137.

περιοδικό θεματικό της ΥΛΙΚΟΝ ΚΑΙ ΤΡΟΠΟΣ ΕΡΓΑΣΙΑΣ Η — ΕΚΠΑΙΔΕΥΤΙΚΗ
περιοδική λεύκων που δημοσιεύεται από την Ένωση των Σπουδών για την επίτελη υγείαν των

Διὰ τὴν πραγματοποίησιν τῆς παρούσης ἐρεύνης ἐμελετήσαμεν σκελετοὺς ἀνήκοντας εἰς ἄτομα γνωστῆς ἡλικίας καὶ φύλου, προερχομένους ἐξ ἀτόμων θανόντων ἐντὸς τῆς τελευταίας 12 /ετίας. Ἐπελέξαμεν δὲ ἐν συνόλῳ 322 σκελετούς, κατανεμομένους κατ' ἀριθμόν, φύλον καὶ ἡλικίαν, ὡς ἐμφαίνεται εἰς τὸν ὑπ' ἀριθ. I πίνακα.

ΠΙΝΑΞ I

ΟΜΑΣ ΗΛΙΚΙΩΝ	ΦΥΛΟΝ		ΑΡΙΘΜΟΣ ΣΚΕΛΕΤΩΝ
	♂	♀	
25 — 34	23	26	49
35 — 44	27	27	54
45 — 54	28	26	54
55 — 64	33	34	67
65 — 74	23	25	48
75 — 84	23	27	50
Σύνολον	157	165	322

Ἐκ τῶν 322 σκελετῶν ἔχρησιμοποιήθησαν ἐκ τῶν μακρῶν ὀστῶν μόνον ἐκεῖνα, ἀτινα ἡσαν πλήρη, κατὰ ζεύγη, εἰς ἀριθμόν, δὲν ἐγένοντο δὲ μετρήσεις ἐπὶ ἐκείνων, τῶν ὁποίων ἔλειπον ἐν ἧ περισσότερα ὀστᾶ ἐκ τῶν ὀστεοκιβωτίων των. Συνεπῶς αἱ γενόμεναι μετρήσεις περιωρίσθησαν μόνον ἐπὶ τῶν ὑπολειπομένων ὀστῶν, ἀτινα ἡσαν πλήρη, ὡς ἀνωτέρω, εἰς ἀριθμὸν κατὰ ζεύγη.

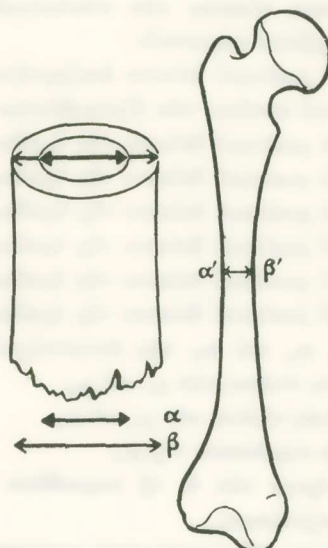
Ἡ ἐπιλογὴ τοῦ ἀριθμοῦ τῶν σκελετῶν ἐκ τῶν δύο φύλων ὡς καὶ τῆς ἡλικίας ἐγένετο κατὰ τοιοῦτον τρόπον, ὥστε αὕτη νὰ ἀκολουθῇ τὴν καμπύλην τῶν φυσικῶν κατανομῶν τῶν Gauss-Laplace.

Μετὰ τὰς προκαταρτικὰς ἔργασίας τοῦ καθορισμοῦ τῶν ὀστῶν κ.τ.λ., ἐτμήθησαν ταῦτα διὰ πρίονος εἰς τὰς διὰ διαστημομέτρου προκαθορισθείσας καὶ διὰ εἰδικῆς μελάνης σημειωθείσας θέσεις.

Αἱ διὰ τὸν ὑπολογισμὸν τοῦ μυελικοῦ δείκτου ἀπαιτούμεναι διάμετροι ἐμετρήθησαν τῇ βοηθείᾳ διαστημομέτρου τύπου Gerhartet. Ὡς μυελικὸν δὲ δείκτην ὅριζομεν τὸν λόγον τῆς ἐλαχίστης διαμέτρου τοῦ μυελικοῦ αὐλοῦ πρὸς τὴν ἐλαχίστην διάμετρον τῆς διαφύσεως (Εἰκὼν 1).

Αἱ καθ' ἔκαστα μετρήσεις ἀνεγράφησαν ἐπὶ ἵδιου δι' ἔνα ἔκαστον σκελετὸν δελτίου καὶ κεχωρισμένως ἀνὰ ὄστοῦν.

Διὰ λόγους ἀπλουστεύσεως τῶν ἐκτελεσθησομένων πράξεων, ἡ τιμὴ τοῦ μυελικοῦ δείκτου ἐπολλαπλασιάσθη ἐπὶ 1000, χωρὶς τοῦτο νὰ ἀποβαίνῃ εἰς βάρος τῆς μαθηματικῆς ἀκριβείας.



Εἰκ. 1.

α : ἐλαχίστη διάμετρος μυελικοῦ αὐλοῦ, β : ἐλαχίστη διάμετρος διαφύσεως, α' β' : ἐλαχίστη περίμετρος μηριαίου ὄστοῦ.

Μετὰ τὸ πέρας τῶν μετρήσεων ὑπελογίσθη ἡ τιμὴ τοῦ μυελικοῦ δείκτου μακροῦ ὄστοῦ καὶ ἀκολούθως ὑπελογίσθησαν :

- 1) Ἡ μέση τιμὴ,
- 2) Ἡ σταθερὰ ἀπόκλισις,
- 3) Ἡ μέση πλάνη,
- 4) Ἡ πιθανὴ πλάνη,
- 5) Ὁ συντελεστὴς κυμάνσεως δι' ἔκαστον ὄστοῦν ἀνεξαρτήτως ἡλικίας,
- 6) Ἡ μέση τιμὴ, καὶ
- 7) Ἡ σταθερὰ ἀπόκλισις κεχωρισμένως ἀνὰ ὁμάδα ἡλικιῶν ἐνὸς ἔκάστου ὄστοῦ,
8. Αἱ καθ' ἔκαστα ὁμάδες ἡλικιῶν, αἴτινες ἡλέγχθησαν εἰς τινας περιπτώσεις ἀνὰ δύο διὰ τοῦ στατιστικοῦ κριτηρίου τοῦ Student,
9. Ὁ συντελεστὴς συσχετίσεως,

10. Ἡ σταθερὰ ἀπόκλισις τοῦ συντελεστοῦ συσχετίσεως,
11. Ἡ πιθανὴ πλάνη τοῦ συντελεστοῦ συσχετίσεως,
12. Ὁ δείκτης ἐλαττώσεως μεταβλητότητος,
13. Τὸ ἐπίπεδον σημαντικότητος, καὶ τέλος
14. Προσδιωρίσθη ἡ γραμμὴ συναρτήσεως ἢ ἔξισωσις παλινδρομήσεως δι' ἐν ἕκαστον ὅστοῦν κεχωρισμένως κατὰ φύλον.

Εἰς τοὺς παρεντιθέμενους πίνακας τῶν στατιστικῶν στοιχείων τὰ χρησιμοποιηθέντα βραχυγραφικὰ σύμβολα παριστοῦν :

μ₁ τὴν μέσην τιμὴν τοῦ μυελικοῦ δείκτου ἀνεξαρτήτως ἡλικίας,
 μ₂ τὴν μέσην τιμὴν τοῦ συνόλου τῶν ἔξετασθέντων σκελετῶν,
 μ_α τὴν μέσην τιμὴν τοῦ μυελικοῦ δείκτου τῆς ὁμάδος ἡλικιῶν 25 - 34,
 μ_β τὴν μέσην τιμὴν τοῦ μυελικοῦ δείκτου τῆς ὁμάδος ἡλικιῶν 35 - 44,
 μ_γ τὴν μέσην τιμὴν τοῦ μυελικοῦ δείκτου τῆς ὁμάδος ἡλικιῶν 45 - 54,
 μ_δ τὴν μέσην τιμὴν τοῦ μυελικοῦ δείκτου τῆς ὁμάδος ἡλικιῶν 55 - 64,
 μ_ε τὴν μέσην τιμὴν τοῦ μυελικοῦ δείκτου τῆς ὁμάδος ἡλικιῶν 65 - 74,
 μ_σ τὴν μέσην τιμὴν τοῦ μυελικοῦ δείκτου τῆς ὁμάδος ἡλικιῶν 75 - 84,
 σ₁, σ₂, σ_α, σ_γ, σ_δ, σ_ε, καὶ σ_{στ} τὰς ἀντιστοίχους σταθερὰς ἀποκλίσεις,
 μ.π.₁ καὶ μ.π.₂ τὰς μέσας πλάνας τῶν μ₁ καὶ μ₂,
 π.π.₁ καὶ π.π.₂ τὰς πιθανὰς πλάνας τῶν μ₁ καὶ μ₂,
 Σ.κυμ.₁ τὸν συντελεστὴν κυμάνσεως τῆς μ₁,
 τὸ στατιστικὸν κριτήριον τῶν ἐν τῇ παρενθέσει ἀναγραφομένων ὁμάδων,
 ῥ τὸν συντελεστὴν συσχετίσεως,
 σ_τ τὴν σταθερὰν ἀπόκλισιν τοῦ συντελεστοῦ συσχετίσεως,
 Δ.Ε.Μ. τὸν δείκτην ἐλαττώσεως τῆς μεταβλητότητος.

Εἰς τὰ παρεντιθέμενα σχεδιαγράμματα οἱ μέσοι ὄροι τῆς τιμῆς τοῦ μυελικοῦ δείκτου ἀνὰ ὁμάδα ἡλικιῶν παριστῶνται τῶν μὲν ἀρρένων διὰ γραμμῆς συνεχοῦς λεπτῆς, τῶν δὲ θηλέων διὰ λεπτῆς διακεκομμένης. Εἰς τὰ αὐτὰ σχεδιαγράμματα οἱ μὲν παχεῖαι συνεχεῖς γραμμαὶ παριστοῦν τὴν γραμμὴν συναρτήσεως ἢ ἔξισωσιν παλινδρομήσεως τῶν ἀρρένων, οἱ δὲ παχεῖαι διακεκομμέναι τὴν τῶν θηλέων.

‘Ο καθορισμὸς τῆς ἡλικίας ἐκ τοῦ μυελικοῦ δείκτου τῶν μακρῶν ὁστῶν, εὔκολως ἐπιτελούμενος διὰ τῆς προτεινομένης μεθόδου, ἐκτελεῖται ὡς ἔξης :

1. Ὑπολογίζεται ἡ τιμὴ τοῦ μυελικοῦ δείκτου.
2. Ἀνευρίσκεται αὖτη ἐπὶ τοῦ ἔξονος τῶν τεταγμένων.

3. Φέρεται ἐξ αὐτοῦ τοῦ σημείου παράλληλος πρὸς τὸν ἔξονα τῶν τετμημένων, ἥτις συναντᾷ εἰς τι σημεῖον τὴν γραμμὴν συναρτήσεως ἢ ἔξισωσιν παλινδρομήσεως.

4. Αἱ συντεταγμέναι τοῦ σημείου τούτου παριστοῦν ἡ μὲν ἐπὶ τοῦ ἔξονος τῶν τεταγμένων τὴν ὑπολογισθεῖσαν τιμὴν τοῦ μυελικοῦ δείκτου, ἡ δὲ ἐπὶ τοῦ ἔξονος τῶν τετμημένων τὴν ἀναζητούμενην ἡλικίαν.

Χάριν εὐκολίας τῶν ἀναγνωστῶν παραθέτομεν ἐν παράδειγμα. ‘Εστω τιμὴ τοῦ μυελικοῦ δείκτου κερκίδος ἀρρενος 413. Ἀνατρέχοντες εἰς τὸ σχετικὸν διάγραμμα, ἐνταῦθα εἰς τὸ ὑπ’ ἀριθ. 2, ἀναζητοῦμεν τὴν τιμὴν ταύτην ἐπὶ τοῦ ἔξονος τῶν τε-

ταγμένων. Ἐν συνεχείᾳ ἐξ αὐτοῦ τοῦ σημείου φέρομεν παράλληλον πρὸς τὸν ἀξονα τῶν τετμημένων, ἡτις τέμνει τὴν γραμμὴν συναρτήσεως ἢ παλινδρομήσεως εἰς τι σημεῖον, εἰς δὲ ἀντιστοιχοῦν συντεταγμέναι 413 καὶ 50. Οὕτω εἰς μὲν τὸν ἀξονα τῶν τεταγμένων ἀνευρίσκεται ἡ ὑπολογισθεῖσα τιμὴ τοῦ μυελικοῦ δείκτου, εἰς δὲ τὸν ἀξονα τῶν τετμημένων ἡ ἀναζητουμένη ἡλικία (50).

ΕΞΕΤΑΣΙΣ ΒΡΑΧΙΟΝΙΩΝ ΟΣΤΩΝ ΑΜΦΟΤΕΡΩΝ ΤΩΝ ΦΥΛΩΝ

Ἐξητάσθησαν ἐν συνόλῳ 294 βραχιόνια ὁστᾶ, κατανεμόμενα κατ' ἀριθμόν, φῦλον καὶ ἡλικίαν ὡς ἐμφαίνεται εἰς τὸν ὑπ' ἀριθ. II πίνακα.

ΠΙΝΑΞ II

ΟΜΑΣ ΗΛΙΚΙΩΝ	Φ Υ Λ Ο Ν		ΑΡΙΘΜΟΣ ΣΚΕΛΕΤΩΝ
	♂	♀	
25 — 34	22	21	43
35 — 44	27	23	50
45 — 54	24	26	50
55 — 64	30	32	62
65 — 74	21	24	45
75 — 84	22	22	44
Σύνολον	146	148	294

Ἐκ τῆς ἔξετάσεως ταύτης ἀνευρέθησαν αἱ κάτωθι ἐν τῷ πίνακi III ἀναγραφόμεναι συνοπτικαὶ τιμαὶ :

ΠΙΝΑΞ III

Συνοπτικαὶ τιμαὶ μυελικοῦ δείκτου βραχιονίου ὁστοῦ

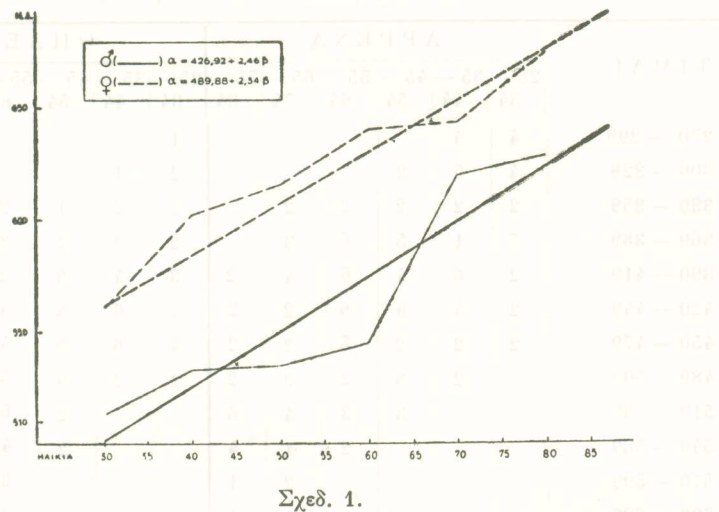
ΤΙΜΑ I	ΑΡΡΕΝΑ							ΘΗΛΕΑ						
	25 — 34	35 — 44	45 — 54	55 — 64	65 — 74	75 — 84	25 — 34	35 — 44	45 — 54	55 — 64	65 — 74	75 — 84		
360 — 399	2	1												
400 — 439	1	4	3	2			3	1						
440 — 479	1	4	2	2			2	2	1					
480 — 519	8	4	2	4			2	2	2	2	2	1		
520 — 559	6	2	6	12	4	2	2	3	4	2	2	2		
560 — 599	2	9	6	4	4	4	2	6	3	6	3	2		
600 — 639	2	2	2	4	4	6	6	5	6	4	4	4		
640 — 679		2	2	2	6	6	4	2	4	9	6	3		
680 — 719					3	4		2	4	5	6	4		
720 — 759									2	3	2	3		
760 — 799										1		4		
Σύνολον	22	27	24	30	21	22	21	23	26	32	24	22		

Αἱ διὰ τὰς ἀνευρεθέσιας τιμὰς μυελικοῦ δείκτου ὑπολογισθεῖσαι τιμὴ τῶν διαφόρων παραμέτρων, κριτηρίων καὶ λοιπῶν ἐν γένει στατιστικῶν στοιχείων ἀναγράφονται εἰς τὸν πίνακα IV.

ΠΙΝΑΞ ΙV

T I M A I	A P P E N A	Θ H A E A
μ_1	561,09	620,27
σ_1	77,64	79,77
$\mu_{\pi.1}$	6,42	6,56
$\pi_{\pi.1}$	4,42	4,42
$\Sigma_{\kappa\mu\mu.1}$	13,83	12,86
μ_2	54,59	55,61
σ_2	16,44	16,25
$\mu_{\pi.2}$	1,36	1,33
$\pi_{\pi.2}$	0,91	0,89
μ_α	513	560
σ_α	63,44	94,55
μ_β	533	602
σ_β	74,45	78,23
μ_γ	535	615
σ_γ	76,72	75,90
μ_δ	545	640
σ_δ	58,08	79,35
μ_ϵ	620	643
σ_ϵ	55,13	64,51
$\mu_{\sigma\tau}$	628	674
$\sigma_{\sigma\tau}$	49,75	77,64
$t(\alpha : \beta)$		1,56
$t(\delta : \epsilon)$	4,57	
r	0,54	0,47
σ_r	0,061	0,064
$\pi_{\pi.r}$	0,044	0,043
$\Delta.E.M.$	0,86	0,88
'Επίπεδον σημαντικότητος	7,44	6,44

Ἐν συνεχείᾳ παραθέτομεν τὸ 'ὑπ' ἀριθ. 1 σχεδιάγραμμα, εἰς ὃ ἀπεικονίζονται οἱ μέσοι δροι καὶ αἱ γραμμαὶ συναρτήσεως ἢ ἔξισώσεις παλινδρομήσεως δι' ἑκάτερον φῦλον κεχωρισμένως.



ΕΞΕΤΑΣΙΣ ΚΕΡΚΙΔΟΣ ΑΜΦΟΤΕΡΩΝ ΤΩΝ ΦΥΛΩΝ

Έξητάσθησαν ἐν συνόλῳ 296 ὀστᾶ κερκίδος, κατανεμόμενα κατ' ἡριθμόν, φύλον καὶ ἡλικίαν, ὡς ἐμφαίνεται εἰς τὸν ὅπ' ὀριθ. Β πίνακα.

Π Ι Ν Α Ε Ζ

ΟΜΑΣ ΗΛΙΚΙΩΝ	Φ Υ Λ Ο Ν		ΑΡΙΘΜΟΣ ΣΚΕΛΕΤΩΝ
	♂	♀	
25 — 34	23	20	43
35 — 44	26	24	50
45 — 54	25	22	47
55 — 64	32	34	66
65 — 74	23	24	47
75 — 84	20	23	43
Σ ύ ν ο λ ο ν	149	147	296

Ἐκ τῆς ἐξετάσεως ταύτης ἀνευρέθησαν αἱ κάτωθι ἐν τῷ πίνακι VI ἀναγραφόμεναι συνοπτικαὶ τιμαὶ :

ΠΙΝΑΞ VI

Συνοπτικαὶ τιμαὶ μυελικοῦ δείκτου κερκίδος

T I M A I	A P P E N A						Θ H Λ E A					
	25 34	35 44	45 54	55 64	65 74	75 84	25 34	35 44	45 54	55 64	65 74	75 84
270 — 299	4	4					1					
300 — 329	4	5	3				2	1				
330 — 359	2	2	2	2	2		2	2	1	2		
360 — 389	7	1	5	6	3		2	3	2	2		
390 — 419	2	6	4	6	4	2	3	4	3	2	2	
420 — 449	2	4	3	6	2	2	4	6	4	4	2	2
450 — 479	2	2	2	5	2	2	4	6	5	4	4	3
480 — 509		2	3	2	3	2	2	2	3	5	5	4
510 — 539			3	3	4	6			2	6	4	4
540 — 569				2	1	4			2	4	3	2
570 — 599					2	1				3	2	4
600 — 629						1				2	2	4
	23	26	25	32	23	20	20	24	22	34	24	23

Αἱ διὰ τὰς ἀνευρεθεῖσας τιμὰς μυελικοῦ δείκτου ὑπολογισθεῖσαι τιμαὶ τῶν διαφόρων παραμέτρων, κριτηρίων καὶ λοιπῶν ἐν γένει στατιστικῶν στοιχείων ἀναγράφονται εἰς τὸν πίνακα VII.

ΠΙΝΑΞ VII

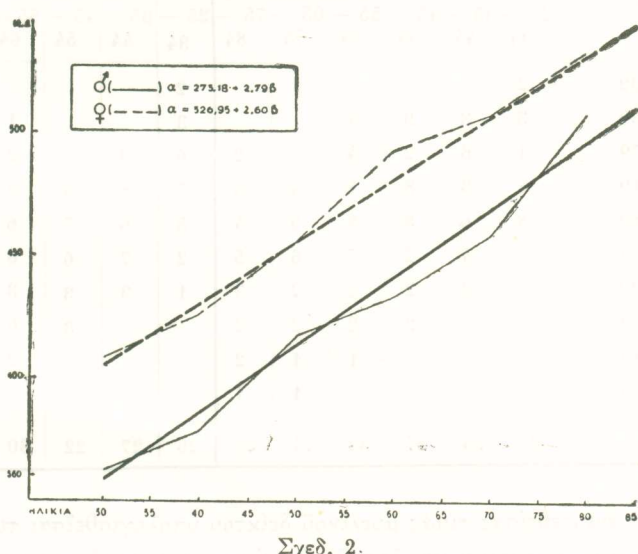
T I M A I	A P P E N A	Θ H Λ E A
μ_1	424,93	472,34
σ_1	78,26	74,44
$\mu.\pi.1$	6,40	6,13
$\pi.\pi.1$	4,34	4,13
$\Sigma.\omega\mu.1$	18,41	15,75
μ_2	54,43	55,92
σ_2	16,22	16,27
$\mu.\pi.2$	1,32	1,34
$\pi.\pi.2$	0,89	0,90
μ_α	362	408
σ_α	56,84	62,24
μ_β	378	426
σ_β	68,28	48,51
μ_γ	417	456

(Συνέχειαν τοῦ πίνακος βλ. εἰς τὴν ἐπομένην σελίδα)

(Συνέχεια του πίνακος VII)

T I M A I	A P P E N A	Θ H Λ E A
σγ	70,05	57,45
μδ	433	493
σδ	59,11	73,94
με	458	507
σε	74,62	58,81
μστ	508	53 $\frac{1}{4}$
σστ	54,18	59,50
t (γ : δ)	0,89	2,06
t (ε : στ)	2,48	1,51
t (β : γ)	1,97	1,86
r	0,58	0,57
στ	0,054	0,056
π.π.τ	0,036	0,037
Δ.Ε.Μ.	0,80	0,88
Έπιπεδον σημαντικότητος	8,67	7,91

Ἐν συνεχείᾳ παραθέτομεν τὸ ὑπ' ἀριθμὸν 2 σχεδιάγραμμα, εἰς ὃ ἀπεικονίζονται οἱ μέσοι ὅροι καὶ αἱ γραμμαὶ συναρτήσεως ἢ ἔξισώσεις παλινδρομήσεως δι' ἕκαστον φῦλον κεχωρισμένως.



ΕΞΕΤΑΣΙΣ ΩΛΕΝΗΣ ΑΜΦΟΤΕΡΩΝ ΤΩΝ ΦΥΛΩΝ

Ἐξητάσθησαν ἐν συνόλῳ 296 ὀστᾶ τῆς ώλένης, κατανεμόμενα κατ' ἀριθμόν, φῦλον καὶ ἡλικίαν ὡς ἐμφαίνεται εἰς τὸν ὅπ' ἀριθμὸν VIII πίνακα.

ΠΙΝΑΞ VIII

ΟΜΑΣ ΗΛΙΚΙΩΝ	ΦΥΛΟΝ		ΑΡΙΘΜΟΣ ΣΚΕΛΕΤΩΝ
	♂	♀	
25 — 34	22	26	48
35 — 44	24	27	51
45 — 54	27	22	49
55 — 64	32	30	62
65 — 74	21	22	43
75 — 84	22	21	43
Σύνολον	148	148	296

Ἐκ τῆς ἔξετάσεως ταύτης ἀνευρέθησαν αἱ κάτωθι ἐν τῷ πίνακι IX διαγράφομεναι συνοπτικαὶ τιμαὶ :

ΠΙΝΑΞ IX

Συνοπτικαὶ τιμαὶ μυελικοῦ δείκτου ώλένης

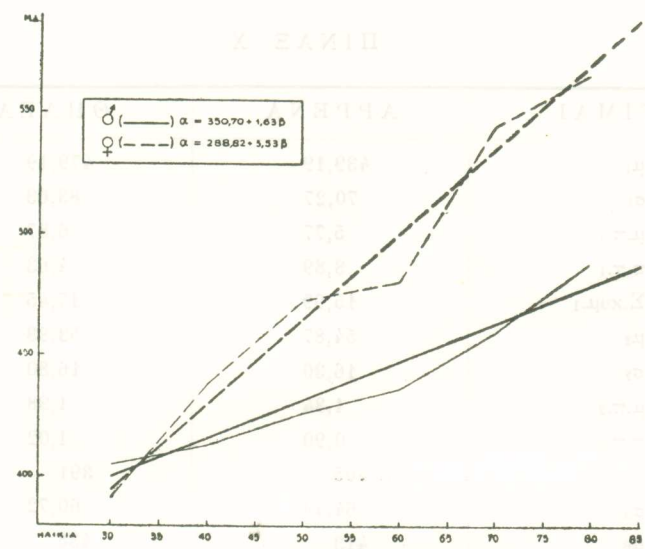
TIMAI	APPENA						ΘΗΛΕΑ					
	25 — 34	35 — 44	45 — 54	55 — 64	65 — 74	75 — 84	25 — 34	35 — 44	45 — 54	55 — 64	65 — 74	75 — 84
260 — 299	2						2					
300 — 339	3	3	3	4			3			1		
340 — 379	1	6	2	4		2	6	3		2		
380 — 319	4	3	8	4	4	3	7	8	3	2		
420 — 459	8	6	8	8	5	4	5	6	7	6	2	
460 — 499	4	4	2	7	6	5	2	7	6	8	3	2
500 — 539		2	2	2	2	3	1	3	3	3	5	4
540 — 579			2	2	2	2			3	6	6	5
580 — 619				1	1	2				2	3	4
620 — 659					1	1					3	6
	22	24	27	32	21	22	26	27	22	30	22	21

Αἱ διὰ τὰς ἀνευρεθείσας τιμὰς μυελικοῦ δείκτου ὑπολογισθεῖσαι τιμαὶ τῶν διαφόρων παραμέτρων, κριτηρίων καὶ λοιπῶν ἐν γένει στατιστικῶν στοιχείων ἀναγράφονται εἰς τὸν πίνακα X.

ΠΙΝΑΞ X

ΤΙΜΑΙ	ΑΡΡΕΝΑ	ΘΗΛΕΑ
μ_1	439,19	479,19
σ_1	70,27	83,63
$\mu_{\pi.1}$	5,77	6,87
$\pi_{\pi.1}$	8,89	4,63
$\Sigma_{\mu\mu.1}$	15,99	17,45
μ_2	54,87	53,93
σ_2	16,30	16,80
$\mu_{\pi.2}$	1,34	1,38
$\pi_{\pi.2}$	0,90	1,02
μ_α	405	394
σ_α	64,49	60,72
μ_β	413	438
σ_β	62,04	48,96
μ_γ	426	473
σ_γ	63,16	50,35
μ_δ	436	481
σ_δ	73,51	68,66
μ_ε	460	545
σ_ε	70,00	59,90
$\mu_{\sigma\tau}$	489	575
$\sigma_{\sigma\tau}$	71,53	59,13
$t(\alpha : \beta)$	0,42	3,04
$t(\varepsilon : \sigma\tau)$	1,31	1,61
$t(\beta : \gamma)$	0,73	2,40
$t(\delta : \varepsilon)$	1,22	3,60
r	0,38	0,71
σ_r	0,070	0,040
$\pi_{\pi.r}$	0,047	0,026
$\Delta.E.M.$	0,92	0,70
'Επίπεδον σημαντικότητος	4,98	12,10

'Εν συνεχείᾳ παραθέτομεν τὸ ὑπ' ἀριθμὸν 3 σχεδιάγραμμα, εἰς ὃ ἀπεικονίζονται οἱ μέσοι ὅροι καὶ αἱ γραμμαὶ συναρτήσεως ἡ ἔξισώσεις παλινδρομήσεως δι' ἕκαστον φῦλον κεχωρισμένως.



Σχεδ. 3.

ΕΞΕΤΑΣΙΣ ΜΗΡΙΑΙΩΝ ΟΣΤΩΝ ΑΜΦΟΤΕΡΩΝ ΤΩΝ ΦΥΛΩΝ

Έξητάσθησαν ἐν συνόλῳ 295 μηριαιῖα δύτᾶ, κατανεμόμενα κατ' ἀριθμόν, φύλον καὶ ἡλικίαν ὡς ἐμφαίνεται εἰς τὸν ὑπ' ἀριθ. XI πίνακα.

ΠΙΝΑΞ XI

ΟΜΑΣ ΗΛΙΚΙΩΝ	ΦΥΛΟΝ		ΑΡΙΘΜΟΣ ΣΚΕΛΕΤΩΝ
	♂	♀	
25 — 34	20	19	39
35 — 44	25	24	49
45 — 54	28	24	52
55 — 64	32	31	63
65 — 74	22	25	47
75 — 84	21	24	45
Σύνολον	148	147	295

Έκ τῆς ἐξετάσεως ταύτης ἀνευρέθησαν αἱ κάτωθι ἐν τῷ πίνακι XII ἀναγραφόμεναι συνοπτικαὶ τιμαί :

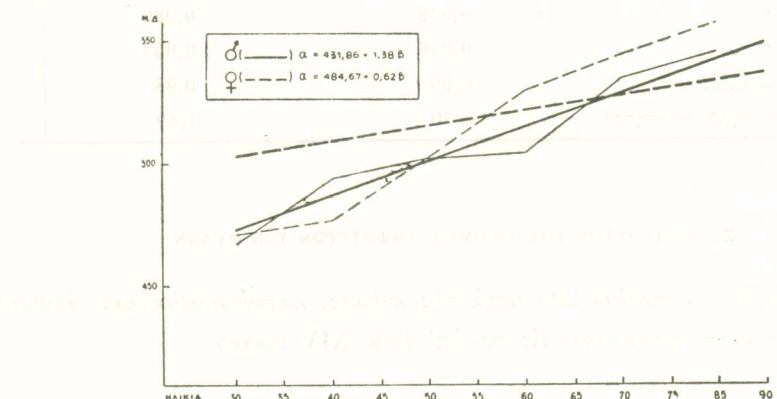
ΠΙΝΑΞ XII

Συνοπτικαὶ τιμαὶ μυελικοῦ δείκτου μηριαίου ὀστοῦ

TIMAI	APPENA							ΘΗΛΕΑ						
	25 34	35 44	45 54	55 64	65 74	75 84		25 34	35 44	45 54	55 64	65 74	75 84	
370 — 399	2							2	3	2				
400 — 429	3	3	2	4				3	3	2				
430 — 459	3	3	4	6	1			3	5	4	3	3	2	
460 — 489	4	4	3	6	3	4		4	4	4	4	2	2	
490 — 519	6	7	8	2	5	4		3	4	3	4	3	2	
520 — 549	2	6	8	3	6	3		2	2	2	6	6	4	
550 — 579		2	2	8	3	4		2	1	2	4	3	5	
580 — 609			1	2	2	3			2	2	6	4	3	
610 — 639				1	1	2				3	2	2	4	
640 — 669					1	1					2	2	2	
	20	25	28	32	22	21	19	24	24	31	25	24		

Αἱ διὰ τὰς ἀναγραφείσας τιμὰς μυελικοῦ δείκτου ὑπολογισθεῖσαι τιμαὶ τῶν διαφόρων παραμέτρων, κριτηρίων καὶ λοιπῶν ἐν γένει στατιστικῶν στοιχείων ἀναγράφονται εἰς τὸν πίνακα XIII (βλ. κατωτ. σ. 328).

Ἐν συνεχείᾳ παραθέτομεν τὸ ὑπ' ἀριθ. 4 σχεδιάγραμμα, εἰς ὃ ἀπεικονίζονται οἱ μέσοι ὅροι καὶ αἱ γραμμαὶ συναρτήσεως ἡ ἔξισώσεις παλινδρομήσεως δι' ἔκαστον φύλον κεχωρισμένως.



Σχεδ. 4.

ΠΙΝΑΞ XIII

Επίπεδο σημαντικότητος 295 δστά της κνήμης

ΤΙΜΑΙ	ΑΡΡΕΝΑ	ΘΗΛΕΑ
μ_1	507,84	519,09
σ_1	55,55	71,09
$\mu_{\pi.1}$	4,56	5,86
$\pi_{\pi.1}$	3,07	3,95
$\Sigma_{\text{κυμ.1}}$	10,93	13,67
μ_2	55,00	55,52
σ_2	16,01	16,12
$\mu_{\pi.2}$	1,82	1,93
$\pi_{\pi.2}$	0,89	0,89
μ_α	467	471
σ_α	46,55	55,58
μ_β	494	477
σ_β	44,45	61,68
μ_γ	502	502
σ_γ	45,34	75,54
μ_δ	504	530
σ_δ	62,59	62,17
μ_ϵ	535	545
σ_ϵ	61,41	62,88
$\mu_{\sigma\tau}$	546	558
$\sigma_{\sigma\tau}$	54,80	61,91
$t(\alpha : \beta)$	1,92	0,32
$t(\delta : \varepsilon)$	1,94	0,85
r	0,40	0,14
σ_r	0,069	0,080
$\pi_{\pi.r}$	0,046	0,053
$\Delta.E.M.$	0,90	0,98
Επίπεδον σημαντικότητος	5,30	1,69

ΕΞΕΤΑΣΙΣ ΟΣΤΩΝ ΤΗΣ ΚΝΗΜΗΣ ΑΜΦΟΤΕΡΩΝ ΤΩΝ ΦΥΛΩΝ

Έξητάσθησαν ἐν συνόλῳ 295 δστᾶ τῆς κνήμης, κατανεμόμενα κατ' ἀριθμόν, φύλον καὶ ἡλικίαν ὡς ἐμφαίνεται εἰς τὸν ὅπ' ἀριθ. XIV πίνακα.

ΠΙΝΑΞ XIV

ΟΜΑΣ ΗΛΙΚΙΩΝ	ΦΥΛΟΝ		ΑΡΙΘΜΟΣ ΣΚΕΛΕΤΩΝ
	♂	♀	
25 — 34	21	19	40
35 — 44	27	27	54
45 — 54	28	20	48
55 — 64	30	33	63
65 — 74	21	22	43
75 — 84	20	27	47
Σύνολον	147	148	295

Έκ της έξετάσεως ταύτης ἀνευρέθησαν αἱ κάτωθι ἐν τῷ πίνακι XV ἀναγραφόμεναι συνοπτικαὶ τιμαὶ :

ΠΙΝΑΞ XV

Συνοπτικαὶ τιμαὶ μυελικοῦ δείκτου κνήμης

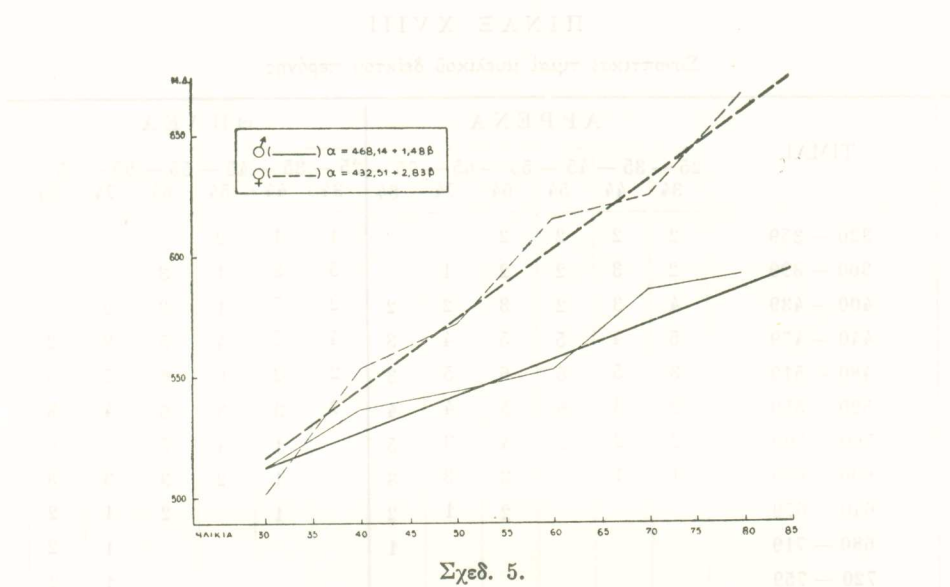
ΤΙΜΑΙ	ΑΡΡΕΝΑ							ΘΗΛΕΑ						
	25 — 34	35 — 44	45 — 54	55 — 64	65 — 74	75 — 84		25 — 34	35 — 44	45 — 54	55 — 64	65 — 74	75 — 84	
360 — 399	1							1						
400 — 439	2			2				1						
440 — 479	4	2	5	4	2	1	3	2		2				
480 — 519	4	8	3	3	4	3	7	6	4	2				
520 — 559	4	8	8	7	2	4	5	8	5	3	5	2		
560 — 599	4	8	9	7	2	2	2	4	4	5	3	6		
600 — 639	2	1	2	3	4	4		5	5	8	3	6		
640 — 679			1	2	6	4		2	2	7	6	4		
680 — 719				2	1	1				4	5	3		
720 — 759					1					2		2		
760 — 799												4		
	21	27	28	30	21	20	19	27	20	33	22	27		

Αἱ διὰ τὰς ἀνευρεθέσας τιμὰς μυελικοῦ δείκτου ὑπολογισθεῖσαι τιμαὶ τῶν διαφόρων παραμέτρων, κριτηρίων καὶ λοιπῶν ἐν γένει στατιστικῶν στοιχείων διαγράφονται εἰς τὸν πίνακα XVI.

ΠΙΝΑΞ XVI

TIMAI	APPENA	ΘΗΛΕΑ
μ_1	552,78	592,16
σ_1	67,79	78,25
$\mu_{\pi.1}$	5,60	6,41
$\pi_{\pi.1}$	8,77	4,32
$\Sigma_{\kappa\mu\mu_1}$	12,28	13,21
μ_2	54,29	56,29
σ_2	16,03	16,29
$\mu_{\pi.2}$	1,32	1,33
$\pi_{\pi.2}$	0,89	0,89
μ_α	513	502
σ_α	57,33	50,72
μ_β	557	554
σ_β	42,31	56,39
μ_γ	544	572
σ_γ	57,33	52,87
μ_δ	553	615
σ_δ	75,28	72,46
μ_ε	586	625
σ_ε	75,86	60,76
$\mu_{\sigma\tau}$	592	667
$\sigma_{\sigma\tau}$	75,60	69,18
$t(\alpha: \beta)$	1,39	3,19
$t(\gamma: \delta)$	0,50	2,25
$t(\varepsilon: \sigma\tau)$	0,24	2,21
r	0,35	0,60
σ_r	0,073	0,052
$\pi_{\pi.r}$	0,049	0,035
$\Delta.E.M.$	0,92	0,80
Ἐπίπεδον σημαντικότητος	6,12	9,00

Ἐν συνεχείᾳ παραθέτομεν τὸ ὅπ' ἀριθμὸν 5 σχεδιάγραμμα, εἰς ὃ ἀπεικονίζονται οἱ μέσοι δροι καὶ αἱ γραμμαὶ συναρτήσεως ἡ ἐξισώσεις παλινδρομήσεως δι' ἔκαστον φῦλον κεχωρισμένως.



ΕΞΕΤΑΣΙΣ ΤΩΝ ΟΣΤΩΝ ΤΗΣ ΠΕΡΟΝΗΣ ΑΜΦΟΤΕΡΩΝ ΤΩΝ ΦΥΛΩΝ

Έξητάσθησαν ἐν συνόλῳ 294 ὀστᾶ τῆς περόνης, κατανεμόμενα κατ' ἀριθμόν, φύλον καὶ ἡλικίαν, ὡς ἐμφαίνεται εἰς τὸν ὑπ' ἀριθ. XVII πίνακα.

Π Ι Ν Α Ζ Χ V I I

ΟΜΑΣ ΗΛΙΚΙΩΝ	Φ Υ Λ Ο Ν		ΑΡΙΘΜΟΣ ΣΚΕΛΕΤΩΝ
	♂	♀	
25 — 34	21	21	42
35 — 44	23	24	47
45 — 54	25	23	48
55 — 64	32	33	65
65 — 74	23	23	46
75 — 84	23	23	46
Σύνολον	147	147	294

Έκ τῆς ἔξετάσεως ταύτης ἀνευρέθησαν αἱ κάτωθι ἐν τῷ πίνακι XVIII ἀναγραφόμεναι συνοπτικαὶ τιμαὶ :

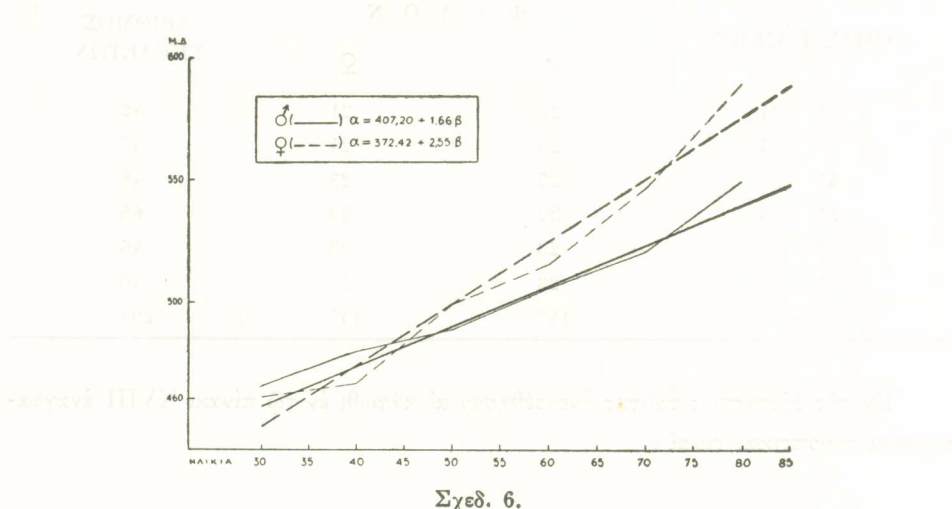
ΠΙΝΑΞ XVIII

Συνοπτικαὶ τιμαὶ μυελικοῦ δείκτου περόνης

TIMAI	APPENA						ΘΗΛΕΑ					
	25 34	35 44	45 54	55 64	65 74	75 84	25 34	35 44	45 54	55 64	65 74	75 84
320 — 359	2	2	2	2			1	1	2			
360 — 399	2	3	2	2	1		5	3	1	3		
400 — 439	4	3	2	3	2	2	2	7	1	3	2	
440 — 479	5	4	5	5	4	3	4	5	4	5	3	2
480 — 519	3	5	6	6	5	3	2	2	6	6	5	3
520 — 559	2	3	6	5	4	4	7	3	3	6	4	3
560 — 599	2	2	2	4	3	5		1	4	5	3	6
600 — 639	1	1		3	3	3		1	2	3	3	3
640 — 679				2	1	2		1		2	1	2
680 — 719						1					1	
720 — 759											1	2
	21	23	25	32	23	23	21	24	23	33	23	23

Αἱ διὰ τὰς ἀνευρεθείσας τιμάς μυελικοῦ δείκτου ὑπολογισθεῖσαι τιμαὶ τῶν διαφόρων παραμέτρων, κριτηρίων καὶ λοιπῶν ἐν γένει στατιστικῶν στοιχείων ἀναγράφονται εἰς τὸν πίνακα XIX (Βλ. κατωτ., σ. 333).

Ἐν συνεχείᾳ παραθέτομεν τὸ κατωτέρω ὑπ' ἀριθμὸν 6 σχεδιάγραμμα, εἰς ὃ ἀπεικονίζονται οἱ μέσοι δροὶ καὶ αἱ γραμμαὶ συναρτήσεως ἡ ἔξισώσεις παλινδρομῆσεως δι' ἔκαστον φῦλον κεχωρισμένως.



ΠΙΝΑΞ ΧΙΧ

T I M A I	A P P E N D I C I	Θ H Λ E A
μ_1	499,47	514,14
σ_1	80,10	89,13
$\mu_{\pi.1}$	6,60	7,35
$\pi_{\pi.1}$	4,45	4,95
$\Sigma_{\chi \nu \mu.1}$	16,03	17,33
μ_2	55,58	55,58
σ_2	16,33	16,38
$\mu_{\pi.2}$	1,34	1,35
$\pi_{\pi.2}$	0,90	0,91
μ_a	466	461
σ_a	77,23	69,95
μ_β	470	467
σ_β	77,43	79,71
μ_γ	479	500
σ_γ	68,43	79,08
μ_δ	506	516
σ_δ	86,87	78,71
μ_e	521	547
σ_e	76,27	84,97
$\mu_{\sigma\tau}$	550	590
$\sigma_{\sigma\tau}$	77,43	81,90
$t(\gamma:\delta)$	1,28	0,73
$t(\varepsilon:\sigma\tau)$	1,26	1,91
r	0,34	0,47
σ_r	0,072	0,064
$\pi_{\pi.r}$	0,048	0,043
$\Delta.E.M.$	0,94	0,87
'Επίπεδον Σημαντικότητος	4,35	6,42

Έχ τῶν παρεντεθέντων σχεδιαγραμμάτων καὶ δὴ τόσον ἐκ τῆς γραφικῆς ἀναπαραστάσεως τῶν ἐμπειρικῶν μέσων ὅρων, ὅσον καὶ ἐκ τῶν ὑπολογισθεισῶν γραμμῶν συναρτήσεως ἢ ἔξισώσεων παλινδρομήσεως σαφῶς διακρίνεται, ὅτι ὁ μυελικὸς δείκτης δὲν παραμένει σταθερὸς δι' ἐν ἕκαστον δύστοιν προϊούσης τῆς ἡλικίας.

Διὰ νὰ παρετηρεῖτο σταθερότης τοῦ μυελικοῦ δείκτου, ἥτοι

$$\frac{\alpha_0}{\beta_0} = \frac{\alpha_1}{\beta_1} = \frac{\alpha_2}{\beta_2} = \frac{\alpha_3}{\beta_3} = \dots \frac{\alpha_n}{\beta_n} = C$$

ένθα $\alpha, \alpha_1, \alpha_2, \alpha_3, \dots, \alpha_n$ αὶ τιμαι τῆς ἐλαχίστης διαμέτρου τοῦ μυελικοῦ αὐλοῦ καὶ $\beta_1, \beta_2, \beta_3, \dots, \beta_n$ αὶ τιμαι τῆς ἐλαχίστης διαμέτρου τῆς διαφύσεως, θὰ ἔπειπε νὰ ἴσχύουν συγχρόνως αἱ κάτωθι σχέσεις :

$$\alpha_i = K_i \cdot \alpha_m \quad i = 1, 2, 3, \dots, n$$

διὰ

$$\beta_i = K_i \cdot \beta_m \quad m = 1, 2, 3, \dots, m$$

Ἐκ τῆς ὁφθαλμοφανοῦς ταύτης παρατηρήσεως συνάγεται, ὅτι αἱ μεταβολαὶ τῶν τιμῶν τῆς ἐλαχίστης ἐσωτερικῆς διαμέτρου τοῦ μυελικοῦ αὐλοῦ καὶ τῆς ἐλαχίστης διαμέτρου τῆς διαφύσεως, λαμβανόμεναι εἰς τὸ αὐτὸ δέπιπεδον δὲν ἀποτελοῦν δμοταγεῖς ὅρους γεωμετρικῶν προόδων τοῦ αὐτοῦ λόγου.

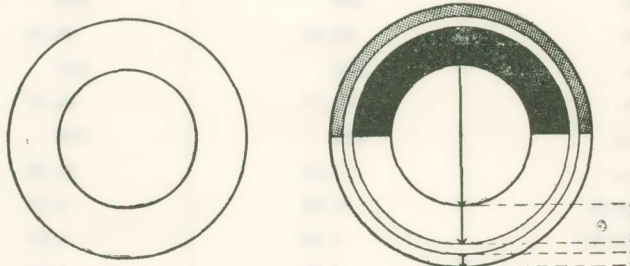
Πρὸς ἕρμηναν τῆς παρατηρηθείσης μεταβολῆς τοῦ μυελικοῦ δείκτου δυνάμεθα νὰ ὑποθέσωμεν τρία τινά :

Α. Ἡ ὅτι ἡ μεταβολὴ τῆς ἐλαχίστης διαμέτρου τοῦ μυελικοῦ αὐλοῦ (α) ἐπιτελεῖται κατὰ ρυθμὸν ἐντονώτερον συγκριτικῶς πρὸς τὸν τῆς ἐλαχίστης διαμέτρου τῆς διαφύσεως (β), ἢτοι

$$\alpha_i = K_1 \cdot \alpha_m$$

$$\beta_i = K_2 \cdot \beta_m$$

ένθα K_1 καὶ K_2 τυχόντες θετικοὶ ἀριθμοὶ μὲ $K_1 > K_2$ (Εἰκὼν 2).



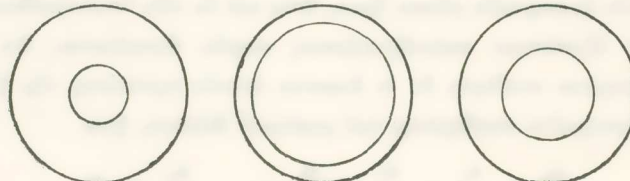
Εἰκ. 2.

Β. Ἡ ὅτι ἡ ἐλαχίστη διάμετρος τοῦ μυελικοῦ αὐλοῦ (α) μεταβάλλεται, τῆς ἐλαχίστης διαμέτρου τῆς διαφύσεως (β) παραμενούσης σταθερᾶς, ἢτοι

$$\alpha_i = K_1 \cdot \alpha_m$$

$$\beta_i = K_2 \cdot \beta_m$$

ένθα K_1 τυχῶν θετικὸς ἀριθμὸς καὶ $K_2 = 1$ (Εἰκὼν 3).



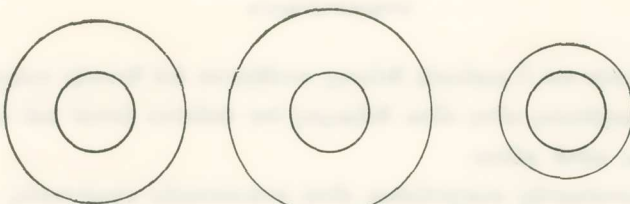
Εἰκ. 3.

Γ. Ἡ δτι ἡ ἐλαχίστη διάμετρος τῆς διαφύσεως (β) μεταβάλλεται, τῆς ἐλαχίστης διαμέτρου τοῦ μυελικοῦ αὐλοῦ (α) παραμενούσης σταθερᾶς, ἵνα

$$\alpha_1 = K_1 \cdot \alpha_m$$

$$\beta_1 = K_2 \cdot \beta_m$$

ἔνθα K_2 τυχών θετικός ἀριθμός καὶ $K_1 = 1$ (Εἰκὼν 4).



Εἰκ. 4.

Κατὰ τὴν πρώτην ὑπόθεσιν, πρόκειται περὶ μεταβολῆς καὶ δὴ αὐξήσεως τῆς ἐλαχίστης διαμέτρου τοῦ μυελικοῦ αὐλοῦ εἰς βάρος τοῦ ὅλου πάχους τοῦ ὄστοῦ.

Ἡ τοιαύτη μεταβολὴ εἶναι συζητήσιμος ἐπὶ ὁστῶν μὴ συμπληρωσάντων εἰσέτι τὴν ὁστέωσίν των. Δεδομένου ὅμως δτι οἱ ὑφ' ἡμῶν ἔξετασθέντες σκελετοὶ ἀνηκον εἰς ἀτομα κλιμακούμενα ἀπὸ 25 - 84 ἑτῶν ἡ τοιαύτη μεταβολὴ ἔξερχεται τῶν ὄρίων τῆς παρούσης ἐργασίας.

Κατὰ τὴν δευτέραν ὑπόθεσιν, ὁ μυελικὸς δείκτης αὐξάνεται ἢ ἐλαττοῦται ἀναλόγως τοῦ σημείου μεταβολῆς, δηλαδὴ ἐπὶ αὐξήσεως τῆς τιμῆς τῆς ἐλαχίστης διαμέτρου τῆς διαφύσεως αὐξάνεται ἡ τιμὴ τοῦ μυελικοῦ δείκτου καὶ ἀντιστρόφως ἐπὶ ἐλαττώσεως τῆς τιμῆς τῆς ἐλαχίστης διαμέτρου τῆς διαφύσεως ἡ τιμὴ τοῦ μυελικοῦ δείκτου ἐλαττοῦται.

Ἡ τοιαύτη μεταβολὴ τῶν ὁστῶν τυγχάνουσα ἴδιαιτέρως ἔκδηλος κατὰ τὰς προκεχωρημένας ἡλικίας χαρακτηρίζεται ὑπὸ ἀπομυζήσεως οὕτως εἰπεῖν τῆς ὁστείνης οὔσιας ἴδιᾳ κατὰ τὴν συμπαγῆ τοιαύτην, ἔνεκα τῆς ὅποιας τὰ ὁστᾶ ἐμφανίζουν τὰς γνωστὰς ὁστεοπορωτικὰς ἀλλοιώσεις.

Ἄποτέλεσμα τῶν ἐπεξεργασιῶν τούτων εἶναι ἡ διεύρυνσις τοῦ μυελικοῦ αὐλοῦ καὶ ἡ αὐξησίς τοῦ λιπώδους ἐν τῷ μυελῷ ἰστοῦ.

Κατὰ τὴν τρίτην ὑπόθεσιν, ὁ μυελικὸς δείκτης αὐξάνεται ἢ ἐλαττοῦται κατ' ἀντίστροφον λόγον τοῦ σημείου μεταβολῆς, δηλαδὴ ἐπὶ αὐξήσεως τῆς τιμῆς τῆς ἐλαχίστης διαμέτρου τῆς διαφύσεως ἡ τιμὴ τοῦ μυελικοῦ δείκτου ἐλαττοῦται καὶ ἀντιστρόφως ἐπὶ ἐλαττώσεως τῆς τιμῆς τῆς ἐλαχίστης διαμέτρου τῆς διαφύσεως ἡ τιμὴ τοῦ μυελικοῦ δείκτου αὐξάνεται.

‘Η τοιαύτη μεταβολή είναι άπορη πρέπεια τόσον άπό θεωρητικής δύσην καὶ άπό πρακτικής άπόψεως, διότι θὰ ἐπρόκειτο περὶ ἀποθέσεως διστενής οὐσίας ἐπὶ τῆς ἔξω ἐπιφανείας τῶν διστῶν, γεγονὸς τὸ δύσιον δὲν είναι δυνατὸν νὰ ἀνταποκρίνεται εἰς τὴν πραγματικότητα, δεδομένου ὅτι τὰ ὑφ' ἡμῶν ἔξετασθέντα διστᾶ προήρχοντο ἐξ ἀτόμων ἡλικίας ἀπὸ 25 - 84 ἔτῶν.

ΣΥΜΠΕΡΑΣΜΑΤΑ

1ον ‘Η ἡλικία καὶ ὁ μυελικὸς δείκτης συνδέονται διὰ θετικῆς συσχετίσεως.

2ον ‘Η συσχέτισις αὕτη είναι διάφορος ἐπὶ ἑκάστου διστοῦ καὶ ἐπὶ τοῦ αὐτοῦ διστοῦ διάφορος κατὰ φῦλον.

3ον ‘Ο συντελεστής συσχετίσεως είναι στατιστικῶς σημαντικός, κατὰ τὸ κριτήριον τοῦ Bowley *, δι’ ὅλα τὰ διστᾶ καὶ διὰ τὰ δύο φῦλα, πλὴν τοῦ μηριαίου διστοῦ τῶν θηλέων.

4ον ‘Ο λόγος τοῦ συντελεστοῦ συσχετίσεως πρὸς τὴν πιθανὴν πλάνην αὐτοῦ ἔχει ὡς κάτωθι κατὰ διστοῦν καὶ φῦλον (Πίνακες XX).

Π Ι Ν Α Ξ Χ X

	Βραχιόνιον	Κερκίς	’Ωλένη	Μηριαῖον	Κνήμη	Περόνη
APPENA	12,44	16,11	8,08	8,69	7,14	7,08
ΘΗΛΕΑ	10,93	15,41	27,31	2,64	17,14	10,93

5ον ‘Η γραμμὴ συναρτήσεως ἡ ἔξισωσις παλινδρομήσεως διὰ τὸ βραχιόνιον διστοῦν ἐμφανίζει μικρὰς καὶ ἔν τινι μέτρῳ ἀσημάντους διαφορὰς ἀπὸ τοὺς συστοίχους ἐμπειρικοὺς μέσους δρους, πλὴν τῶν ἐτῶν : 36 - 44.

‘Η τῶν ἀρρένων ἐμφανίζει διαφορὰς ἀπὸ τοὺς συστοίχους ἐμπειρικούς μέσους δρους, πλὴν τῶν ἐτῶν 50 - 62 καὶ 68 - 75.

6ον Αἱ γραμμαὶ συναρτήσεως ἡ ἔξισώσεις παλινδρομήσεως διὰ τὴν κερκίδα τόσον τῶν ἀρρένων δύσην καὶ τῶν θηλέων ἐμφανίζουν σχεδὸν ἴδαινικὴν σύμπτωσιν πρὸς τοὺς ἀντιστοίχους ἐμπειρικούς μέσους δρους.

7ον Αἱ γραμμαὶ συναρτήσεως ἡ ἔξισώσεις παλινδρομήσεως τῆς ὠλένης καὶ τῶν δύο φύλων ἐμφανίζουν σχεδὸν ἴδαινικὴν σύμπτωσιν πρὸς τοὺς ἀντιστοίχους μέσους δρους, πλὴν τῶν ἡλικιῶν 56 - 62 διὰ τὰ ἀρρενα καὶ 58 - 62 διὰ τὰ θηλεα.

* Κατὰ τὸν Bowley ὁ συντελεστής συσχετίσεως θεωρεῖται στατιστικῶς σημαντικός, ἐὰν είναι τούλαχιστον ἔξαπλάσιος τῆς πιθανῆς αὐτοῦ πλάνης.

ΠΙΝΑΞ ΞΙ

Βραχύδυτον	Α	Π	Π	Ε	Ν	Α	ΘΑΙΚΙΑ			Θ	Η	Α	Ε	Α	Κυήμη	Περιοχή
							Κερκίς	*Ωλένη	Μηραΐου							
488,42	342,93	391,45	466,36	505,44	448,70	25	548,38	394,95	377,07	500,47	503,46	436,47				
500,72	356,88	399,60	473,26	542,84	457,00	30	560,98	404,95	394,72	503,27	517,65	448,92				
513,02	370,83	407,75	480,46	520,24	465,30	35	574,78	417,95	412,37	506,87	531,84	461,67				
525,32	384,78	415,90	487,06	527,64	473,60	40	583,48	430,95	430,02	509,47	546,03	474,42				
537,62	398,73	424,05	493,96	535,04	484,90	45	595,48	443,95	447,67	512,57	560,22	487,17				
549,92	412,68	432,20	500,86	542,44	490,20	50	606,88	456,95	465,32	515,67	574,46	499,92				
562,22	426,63	440,35	507,76	549,84	498,50	55	618,58	469,95	482,97	518,77	588,60	542,67				
574,52	440,58	448,50	514,66	557,24	506,80	60	630,28	482,95	500,62	521,87	602,79	525,42				
586,82	454,53	456,65	524,56	564,64	515,40	65	644,98	495,95	518,27	524,97	616,98	538,47				
599,12	468,48	464,80	528,46	572,04	523,40	70	653,68	508,95	535,92	528,07	631,47	550,92				
614,42	482,43	472,95	535,36	579,44	534,70	75	665,38	524,95	553,57	534,17	645,36	563,67				
623,72	496,38	481,10	542,26	586,84	540,00	80	677,08	534,95	571,22	534,27	659,55	576,42				
636,02	510,33	489,25	549,46	548,30	549,46	85	688,78	547,95	588,87	537,37	673,74	589,47				

8ον Ἡ γραμμὴ συναρτήσεως ἡ ἔξισωσις παλινδρομήσεως διὰ τὸ μηριαῖον δστοῦν τῶν ἀρρένων ἐμφανίζει ἀσημάντους διαφορὰς ἀπὸ τοὺς ἀντιστοίχους ἐμπειρικοὺς μέσους ὅρους. Ἡ ἐπὶ τῶν θηλέων ἐμφανίζει τοιαύτας διαφορὰς ἀπὸ τοὺς ἀντιστοίχους ἐμπειρικοὺς μέσους ὅρους, ὥστε αὕτη νὰ στερῆται οἰασδήποτε πρακτικῆς ἀξίας.

9ον Αἱ γραμμαὶ συναρτήσεως ἡ ἔξισώσεις παλινδρομήσεως τόσον διὰ τὰ ἀρρεναὶ δσον καὶ διὰ τὰ θήλεα ἐμφανίζουν σχεδὸν ἴδανικὴν σύμπτωσιν πρὸς τοὺς ἀντιστοίχους ἐμπειρικοὺς μέσους ὅρους, πλὴν τῶν ἡλικιῶν 68 - 75 διὰ τὰ ἀρρεναὶ καὶ 58 - 62 διὰ τὰ θήλεα.

10ον Αἱ γραμμαὶ συναρτήσεως ἡ ἔξισώσεις παλινδρομήσεως διὰ τὴν περόνην τόσον τῶν ἀρρένων ὅσον καὶ τῶν θηλέων ἐμφανίζει σχεδὸν ἴδανικὴν σύμπτωσιν πρὸς τοὺς ἀντιστοίχους ἐμπειρικοὺς μέσους ὅρους, πλὴν τῶν ἐτῶν 76 - 80 διὰ τὰ θήλεα.

11ον Τέλος παραθέτομεν τὸν ὑπ' ἀριθ. XXI πίνακα (βλ. ἀνωτ., σ. 337) ἐμφανινοῦτα τὰς τιμὰς τοῦ μυελικοῦ δείκτου, ἀνὰ πενταετίαν ἡλικιῶν καὶ κατὰ φῦλον, ὑπολογισθείσας βάσει τῶν ἀντιστοίχων γραμμῶν συναρτήσεως ἡ ἔξισώσεων παλινδρομήσεως.

S U M M A R Y

Identifying the age by the skeleton is one of the most complex problems of medical jurisprudence, because the bones as found do not provide safe indications to this objective.

Determining the age by the skeleton is based on the verification of the course of the junction of the skull bones' edge and on the junction of epiphyses with the diaphysis of long bones. However, the verification of the junction of the various bones, and especially of its degree, is already complex and often gives way to doubts when evaluation is done, because they are neither positive criteria nor determined time limits to effect this verification among the various individuals involved.

The above researchers, who are interested in finding an exact and also practical method to identify the age by the skeleton, have sought various ways in the experimenting field of this highly interesting problem pertaining to medical jurisprudence. They made use again of the medulla index, namely of the minimum diameter of the medulla tube of each long bone to the minimum diameter of the diaphysis, after section-cutting the bone at a level located around the middle of the diaphysis and corresponding to its minimum diameter.

322 skeletons were used to implement this research; they were individuals of known age sex, whom we obtained from the ossuary of the cemetery of Viron and from the 2d and 3d cemeteries of Athens.

Inferences reached after examination of the medulla index, of the humerus, the radius, the ulna, the femoral bone, the shin bone and the fibula, are being investigated and developed by the study of parameters, criteria and other numerous statistical information recorded in these inferences.

Detailed illustrations and charts are part of the above investigation, showing routine averages, junction lines or retrogression equations, statistical estimates at the rate of approx. thirty for each bone, separately for each sex, as well as wide-range statistical analyses.

The above researchers used unerring statistical methods to study the two above variables, namely the age and the medulla index. To be precise, this effort was directed at solving the following problems :

- a) Is there any correlation between age and medulla index? In other words, is there any actual connection, in the mathematic sense, between the variables under study?
- b) If there is such a relation, what kind is it? What degree, Viz. What is the causative relation between them?
- c) What is their interdependency?
- d) How are the measuring performed being apportioned in this system of correlation?

For solving the above problems, the researchers took into account the factor of connection in a) and b) as well as its steady deviation and its possible error. In c) the junction lines or retrogression equations, and in d) the index of variability reduction.

The researchers also make efforts to interpret by mathematical hypotheses the increase of the value of the medulla index as age progresses.

On the basis of the above inferences, the writers decide that :

- 1) The age and the medulla index are connected by positive correlation, and the correlating factor differs for each bone, and on each bone there is a difference according to sex.
- 2) The correlating factor, according to BOWLEY's criterium (The correlating factor is considered statistically important if it is at least six times higher than its possible error), for all bones and for both sexes, is statistically important, except the femoral bone of females.

3) The junction lines or retrogression equations show almost an ideal coincidence or small or worthless differences from the corresponding routine averages for all bones of both sexes, except the femoral bone of females.

The writers certify that the method invented by them of identifying the age by the medulla index of long bones, not described in international bibliography, is simple and safe.

By this method, we obtain one more element, highly interesting, simple, safe and original, for identifying the age by using long bones.

(*From the Laboratory of Medical Jurisprudence and Toxicology of the University of Athens).*

ΙΑΤΡΟΔΙΚΑΣΤΙΚΗ.—Προσδιορισμὸς τοῦ χρόνου τοῦ θανάτου διὰ τῆς ἔξετασεως τοῦ ἀνοργάνου φωσφόρου τοῦ ἐγκεφαλονωτιαίου ύγρου*, ὑπὸ Ἐμμ. Κ. Ἡλιάκη, Ἀλίκης Κ. Ἡλιάκη καὶ Ἀντων. Σ. Κουτσελίνη**.

*Ἀνεκοινώθη ὑπὸ τοῦ Ἀκαδημιαϊκοῦ κ. Κωνστ. Χωρέμη¹.

Οἱ καθορισμὸς τοῦ ἀπὸ τοῦ θανάτου παρελθόντος χρόνου κέκτηται μεγίστην σημασίαν εἰς τὴν Ἱατροδικαστικὴν δυνάμενος νὰ βοηθήσῃ εἰς τὴν ἐπίλυσιν πλείστων ὅσων ζητημάτων ἐνδιαφερόντων ὅχι μόνον τὸν Ποινικὸν νόμον, ἀλλὰ καὶ τὸν Ἀστικόν. Τοιουτοτρόπως ἐπιζητεῖται ὑπὸ τῶν Δικαστικῶν Ἀρχῶν ἡ ἔξακριβωσις τούτου, ἀποτελεῖ δὲ ἐν τῶν δυσχερεστέρων Ἱατροδικαστικῶν προβλημάτων καθισταμένη διὰ τῶν μέχρι τοῦδε γνωστῶν μεθόδων κατὰ προσέγγισιν μόνον ἐφικτή, ἐνίστε δὲ καὶ ἀδύνατος.

Ἡ δυσχέρεια τοῦ ἀκριβοῦ προσδιορισμοῦ τοῦ χρόνου τοῦ θανάτου διείλεται εἰς τὸ γεγονός, διτὶ αἱ μετὰ θάνατον ἐπεργόμεναι μεταβολαὶ εἶναι τόσον διάφοροι ἀπὸ πτώματος εἰς πτῶμα, ὥστε νὰ μὴ ἀνευρίσκωνται πάντοτε αἱ αὐταὶ καὶ τῆς αὐτῆς ἐκτάσεως καὶ βαθμοῦ ἀκόμη καὶ ἐπὶ πτωμάτων, ἀτινα ἔθανον ἐκ τῆς αὐτῆς αἰτίας ταυτοχρόνως καὶ ἐτάφησαν ὑπὸ τὰς αὐτὰς συνθήκας καὶ εἰς τὸ αὐτὸ περιβάλλον.

* (*Ἐκ τοῦ Ἐργαστηρίου Ἱατροδικαστικῆς καὶ Τοξικολογίας τοῦ Πανεπιστημίου Ἀθηνῶν. Διευθυντὴς ὁ Καθηγ. Κ. Ε. Ἡλιάκης*).

** EMM. K. ILIAKIS, ALICE K. ILIAKIS and ANT. KOUTSELINIS, *The designation of the time of death through the examination of the anorganic P of S.P.F.*

¹ Ἀνεκοινώθη κατὰ τὴν συνέδριαν τῆς 6 Φεβρουαρίου 1964.